

## МЕДЬМАРГАНЦЕВЫЙ КАТАЛИЗАТОР ДЛЯ НИЗКОТЕМПЕРАТУРНОГО ОКИСЛЕНИЯ СО НА ОСНОВЕ СМЕШАННОГО ОКСИДА CuMnO<sub>2</sub>

Н.А. Соковиков<sup>1,2</sup>, Д.А. Свинцицкий<sup>1</sup>, В.М. Метальникова<sup>1,2</sup>,  
С.В. Черепанова<sup>1</sup>, А.И. Боронин<sup>1</sup>

<sup>1</sup>Институт катализа им. Г.К. Борескова СО РАН, Новосибирск, Россия

E-mail: sad@catalysis.ru

<sup>2</sup>Новосибирский государственный университет, Новосибирск, Россия

Статья поступила  
05.04.2023

С доработки  
26.04.2023

Принята к публикации  
26.04.2023

Изучены условия синтеза рентгенографически однофазного смешанного оксида CuMnO<sub>2</sub> со структурой типа креднерит. Проведены каталитические испытания в реакции окисления CO для полученных образцов в зависимости от температуры их синтеза и величины pH исходного раствора. Структурные особенности, состав и состояние поверхности, а также термическая стабильность образцов медьмарганцевых смешанных оксидов исследованы с помощью методов рентгеновской дифракции (РФА), рентгеновской фотоэлектронной спектроскопии (РФЭС) и термогравиметрии (ТГА) соответственно. Установлено, что образцы смешанного оксида CuMnO<sub>2</sub> со структурой креднерита демонстрируют заметную каталитическую активность при температуре реакции выше 40 °C. Из данных РФА и ТГА следует, что нагрев медьмарганцевого катализатора в реакционной смеси CO+O<sub>2</sub> до 350 °C вызывает фазовый переход, при котором образуются частицы со структурой шпинели Cu<sub>y</sub>Mn<sub>3-y</sub>O<sub>4</sub> и характеризующиеся наибольшей каталитической активностью. По данным метода РФЭС формирование шпинельной структуры на поверхности активных частиц сопровождается появлением характерного пика Cu 2p<sub>3/2</sub> с энергией связи ~930.7 эВ. На основании проведенной корреляции структура–активность показано, что частицы CuMnO<sub>2</sub> со структурой типа креднерит могут выступать в качестве предшественника для получения высокоэффективного медьмарганцевого катализатора для низкотемпературного окисления CO.

DOI: 10.26902/JSC\_id112370  
EDN: WVJYUC

**Ключевые слова:** медь, марганец, гопкаллит, окисление CO, шпинель, креднерит, гетерогенный катализ.

### ВВЕДЕНИЕ

Известно, что угарный газ представляет огромную опасность для живых организмов, так как сродство гемоглобина к нему в 200 раз выше, чем к кислороду [ 1 ]. В связи с этим даже небольшие концентрации CO в атмосфере могут приводить к гипоксии вплоть до летального исхода. В крупных городах выхлопные газы – основной источникmonoоксида углерода [ 2 ], появляющегося в результате неполного сгорания топлива. Ввиду стремительного роста городов и производства машин на сегодняшний день нейтрализация CO является важнейшей проблемой для науки и промышленности. Эффективная утилизация CO возможна путем каталитического окисления в более безопасный углекислый газ. Реализовывать этот процесс при комнатной тем-

пературе способны катализаторы на основе золотых [ 3–5 ] и платиновых металлов [ 6–10 ], оксидные системы на основе  $\text{Co}_3\text{O}_4$  [ 11–13 ], а также меди и марганца (гопкалиты) [ 14–16 ]. Гопкалитовые катализаторы выгодны из-за невысокой стоимости. Первый гопкалитовый катализатор разработан более 100 лет назад [ 17 ] и широко применяется в промышленности, в системах жизнеобеспечения, в бытовых очистителях воздуха, а также для разложения озона [ 18, 19 ].

Описание структуры гопкалитового катализатора затруднено, так как активная форма катализатора находится в аморфном состоянии [ 20–22 ]. Это усложняет анализ структуры активного компонента и активной поверхности гопкалитового катализатора. В связи с указанным систематичное изучение различных медьмарганцевых смешанных оксидов заданной структуры (например, шпинель  $\text{Cu}_y\text{Mn}_{3-y}\text{O}_4$  при  $1.0 \leq y \leq 1.5$ , креднерит  $\text{CuMnO}_2$ ) способствует установлению причин низкотемпературной каталитической активности подобных материалов, в том числе гопкалитового катализатора. Имеется множество работ по исследованию каталитических свойств шпинели  $\text{Cu}_y\text{Mn}_{3-y}\text{O}_4$  [ 15, 23, 24 ], а также смеси оксидов меди и марганца [ 25–30 ], в ходе которых обнаружена высокая активность таких систем в окислении CO при комнатной температуре.

Приготовление смешанного оксида  $\text{CuMnO}_2$  возможно при твердофазном спекании [ 31 ], соосаждении [ 32 ] или гидротермальном синтезе в диапазоне температур 80–210 °C [ 33–35 ]. Например, в [ 36 ] обсуждается влияние условий гидротермального синтеза (температуры, концентрации щелочи) на фазовый состав и структуру смешанного оксида меди и марганца. Показано, что за счет изменения условий синтеза можно варьировать дисперсность частиц  $\text{CuMnO}_2$  со структурой креднерита, а также исключить образование окристаллизованных соединений другого состава (примесных фаз). В отличие от структурных данных, сведения о каталитической активности оксида  $\text{CuMnO}_2$  представлены противоречиво и недостаточно подробно [ 32, 37 ]. В [ 37 ] сообщается о низкой каталитической активности  $\text{CuMnO}_2$  в окислении CO, обнаруженной только при температуре ~70 °C. В то же время в другой публикации авторы заявляют о высокой активности частиц  $\text{CuMnO}_2$  в сухом окислении CO при комнатной температуре [ 32 ]. Более того, каталитические свойства креднерита  $\text{CuMnO}_2$  не рассматриваются во взаимосвязи с данными для других фаз и составов медьмарганцевой системы, включая шпинели  $\text{Cu}_y\text{Mn}_{3-y}\text{O}_4$ , смеси оксидов меди и марганца и гопкалитовый катализатор.

Изучение каталитических свойств частиц  $\text{CuMnO}_2$  и установление корреляции активности с состоянием их поверхности и структурными превращениями в ходе реакции представляет собой важную задачу для понимания особенностей функционирования гопкалитового катализатора. В настоящей работе подобраны условия приготовления частиц  $\text{CuMnO}_2$  со структурой креднерита, охарактеризованы их каталитические свойства в реакции окисления CO в зависимости от условий синтеза и в сопоставлении с другими медьмарганцевыми оксидными системами. Установлено, что активация смешанного оксида меди и марганца обусловлена появлением поверхностных или объемных частиц со структурой шпинели  $\text{Cu}_y\text{Mn}_{3-y}\text{O}_4$ .

## ЭКСПЕРИМЕНТАЛЬНАЯ ЧАСТЬ

**Приготовление образцов.** Медьмарганцевые смешанные оксиды готовили с помощью гидротермального синтеза при использовании  $\text{Cu}(\text{NO}_3)_2 \cdot 3\text{H}_2\text{O}$  (ХЧ) и  $\text{Mn}(\text{NO}_3)_2 \cdot x\text{H}_2\text{O}$  (ЧДА) в качестве исходных реагентов. Нитраты металлов в эквимолярном соотношении растворяли в 30 мл дистиллированной воды. К полученному раствору при капывали 40 мл заранее приготовленного раствора KOH определенной концентрации. При этом наблюдали выпадение темно-коричневого осадка. Количество KOH подбирали так, чтобы величина pH итогового раствора была в диапазоне 9–13. Осадок с раствором помещали в тефлоновый стакан внутри автоклава и выдерживали при температуре 80 °C, 120 °C и 180 °C в течение 24 ч. После охлаждения раствор над осадком сливали, осадок многократно промывали дистиллированной водой, фильтровали и сушили при 80 °C в течение 6 ч. В работе представлены данные для образцов: (1) приготовленных при pH, близком к 12, с вариацией температуры гидротермального синтеза (серия CuMn-1); (2) приготовленных при 80 °C с вариацией pH исходного раствора в диапазоне от 9.6 до 13.1 (серия CuMn-2); (3) приготовленных при 80 °C и pH=13.1 (серия CuMn-3).

**Физико-химическое охарактеризование.** Данные рентгеновской дифракции получены на дифрактометре ARL X'tra (Thermo Fisher Scientific) с использованием излучения  $\text{Cu}K_{\alpha}$  ( $\lambda = 0.154184 \text{ нм}$ ) в диапазоне углов  $2\theta = 10\text{--}90^\circ$  с шагом  $0.02^\circ$  и скоростью 1 град./мин, применявшийся линейный детектор Mythen2R 1D (Dectris) с угловым диапазоном  $7.0^\circ$ . Для фазового анализа использовали базу данных ICDD PDF-4+. Уточнение параметров решетки проведено полнопрофильным методом Ритвельда с помощью программного пакета TOPAS [38] и структурных данных из базы ICSD. Средние размеры кристаллитов определялись из параметров профиля пиков (ширина, соотношение компонент Гаусса и Лоренца) методом Войт-анализа в программе TOPAS.

Регистрация фотоэлектронных спектров проводилась на спектрометре KRATOS ES300 (излучение  $\text{Al}K_{\alpha}$ , мощность рентгеновской трубки 100 Вт). Калибровку прибора осуществляли по положению максимума пиков Au  $4f_{7/2}$  (84.0 эВ) и Cu  $2p_{3/2}$  (932.7 эВ), определенных для поверхности очищенных фольг металлического золота и меди соответственно. Образцы характеризовались достаточной проводимостью, что обеспечивало отсутствие эффекта подзарядки. Состав поверхности определяли по интегральным площадям отдельных линий с учетом рассчитанных факторов атомной чувствительности [39]. Детальный анализ спектров, включая процедуры сглаживания, вычитания фона по методу Ширли, разложения линий на индивидуальные компоненты и их интегрирование, проводили с использованием программного обеспечения XPS-Calc [40–42]. Удельную поверхность измеряли на приборе ASAP 2400 (Micromeritics corp. USA) с помощью низкотемпературной адсорбции  $\text{N}_2$  в соответствии с теорией БЭТ. Термическую стабильность исследовали методом термогравиметрии (ТГА) на приборе STA 449 C Jupiter (NETZSCH) при скорости нагрева  $10^\circ\text{C}/\text{мин}$ . Скорость подачи воздуха на образец – 30 мл/мин, скорость подачи гелия – 20 мл/мин.

**Каталитические свойства.** Каталитические испытания осуществляли в установке проточного типа с применением ИК-Фурье-спектрометра I1801 (MIDAC, США) для анализа газовой смеси. Навеска катализатора – 0.3 г. Для тестирования активности использовали смесь 0.24 % CO и 1 % O<sub>2</sub> в аргоне, подаваемую со скоростью 200 см<sup>3</sup>/мин (время контакта – 0.075 с). Скорость нагрева –  $10^\circ\text{C}/\text{мин}$ . Образцы тестировались в циклическом режиме с трехкратным нагревом катализатора в смеси CO+O<sub>2</sub> с промежуточным охлаждением до  $-10^\circ\text{C}$ . В работе представлены данные, полученные в ходе третьего нагрева катализатора в реакционной смеси. Для оценки скорости реакции окисления CO при  $25^\circ\text{C}$  ( $W_{25}$ ) и значения энергии активации ( $E_a$ ) выбирали начальный участок кривой конверсии CO ( $X_{\text{CO}}$  в диапазоне 5–20 %,  $X$  – величина конверсии), представленный в Аррениусовых координатах.

## РЕЗУЛЬТАТЫ

**Влияние условий приготовления.** Для приготовления смешанного оксида меди и марганца CuMnO<sub>2</sub> со структурой креднерита проводили варьирование температуры гидротермального синтеза (серия CuMn-1) и величины pH исходного раствора (серия CuMn-2). На рис. 1 представлены соответствующие рентгенограммы. Для образцов из серии CuMn-1 основной кристаллической фазой выступали частицы CuMnO<sub>2</sub> со структурой типа креднерит (PDF4#04-012-9555), тогда как дополнительные окристаллизованные фазы были представлены частицами CuO (PDF4+#04-007-0518) и/или Mn<sub>3</sub>O<sub>4</sub> (PDF4+#04-015-2577). При этом суммарное количество таких возрастало от 1 вес.% до 8 вес.% при росте температуры синтеза от  $80^\circ\text{C}$  до  $180^\circ\text{C}$  (табл. 1). Это сопровождалось увеличением средних размеров кристаллитов частиц креднерита ( $D$ ), тогда как другие структурные характеристики (объем элементарной ячейки  $V$ , параметры решетки  $a$ ,  $b$  и  $c$ ) значительно не изменились.

В дальнейшем для приготовления частиц креднерита выбрана температура синтеза  $80^\circ\text{C}$ , при которой проводили исследование по влиянию величины pH исходного раствора на итоговый фазовый состав формируемых частиц (рис. 1b). Установлено, что при  $\text{pH} < 10$  целевая фаза креднерита не образуется, а продуктом реакции оказываются частицы тетрагональной шпинели Mn<sub>3</sub>O<sub>4</sub> и оксидов меди CuO и Cu<sub>2</sub>O (PDF4+#04-016-6875). При  $\text{pH} = 11.8$  вклад частиц кредне-

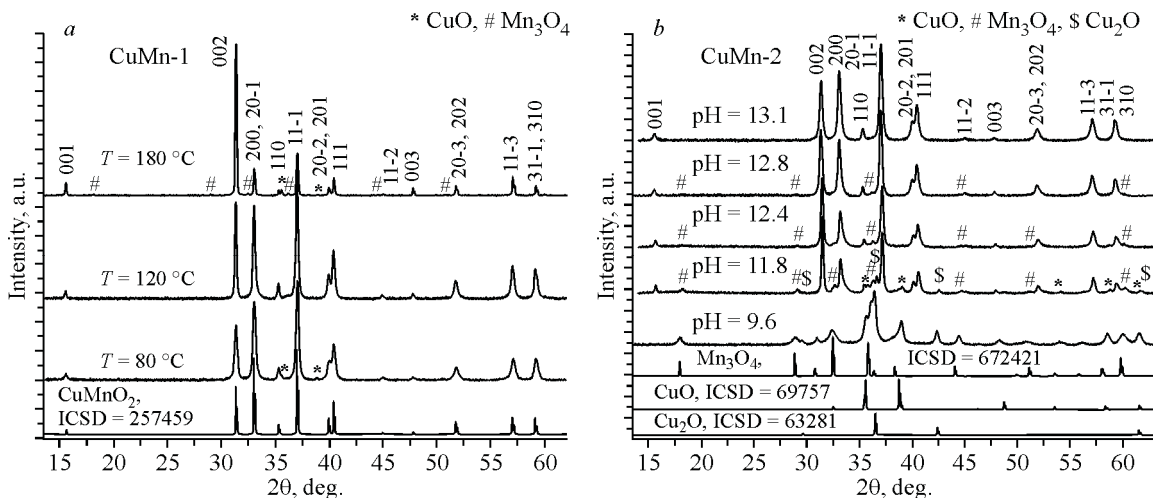


Рис. 1. Рентгенограммы исходных образцов из серий CuMn-1 (варьирование температуры гидротермального синтеза) (а) и CuMn-2 (варьирование pH исходного раствора) (б)

Таблица 1

*Фазовый состав изученных медьмарганцевых образцов и структурные параметры для частиц креднерита (по данным метода Ритвельда) в их составе*

Условия получения образцов	CuMnO <sub>2</sub>						Mn <sub>3</sub> O <sub>4</sub>	CuO	Cu <sub>2</sub> O	Cu <sub>y</sub> Mn <sub>3-y</sub> O <sub>4</sub>	
	a, Å	b, Å	c, Å	V, Å <sup>3</sup>	D, нм	N, вес.%	N, вес.%				
<i>T, °C</i>										CuMn-1	
80	5.5906(2)	2.8819(1)	5.8871(2)	92.0	27	99	—	1	—	—	
120	5.5931(2)	2.8825(1)	5.8890(2)	92.1	40	98	2	—	—	—	
180	5.5926(7)	2.8817(3)	5.8870(7)	92.1	>100	92	5	3	—	—	
<i>pH</i>										CuMn-2	
9.6	—	—	—	—	—	—	58	24	18	—	
11.8	5.5870(7)	2.8828(3)	5.8909(7)	92.0	30	68	20	8	4	—	
12.4	5.5902(8)	2.8844(4)	5.8940(8)	92.4	34	90	10	—	—	—	
13.1	5.5884(3)	2.8825(2)	5.8893(2)	92.0	38	100	—	—	—	—	
Обработка										CuMn-3	
Исходный	5.5857(3)	2.8821(1)	5.8897(3)	92.0	22	100	—	—	—	—	
CO+O <sub>2</sub> , 250 °C	5.5850(10)	2.8814(7)	5.8895(10)	91.9	16	100	—	—	—	—	
Ar, 350 °C	5.5850(7)	2.8807(4)	5.8895(7)	91.9	17	100	—	—	—	—	
CO+O <sub>2</sub> , 350 °C	—	—	—	92.1	13	10	—	—	—	90	

При мечани я: Угол  $\beta$  в рамках уточнения структуры креднерита для всех образцов был близким к  $104.0 \pm 0.1^\circ$ . N обозначает массовое содержание фазы в составе образца.

рита ( $\text{CuMnO}_2$ ) становился преобладающим (68 вес.-%), и лишь при  $\text{pH} > 13$  удалось избежать формирования окристаллизованных примесей. В соответствии с диаграммой Пурбе для соединений марганца [43] увеличение pH раствора уменьшает электрохимический потенциал перехода  $\text{Mn}^{2+}$  в  $\text{Mn}^{3+}$ . Окисление марганца в сильнощелочной среде за счет сопряженного перехода  $\text{Cu}^{2+}$  в  $\text{Cu}^+$  способствует образованию частиц  $\text{CuMnO}_2$  без примесей индивидуальных оксидов. Средний размер кристаллитов частиц  $\text{CuMnO}_2$  в составе образцов из серии CuMn-2 составлял 30–40 нм (табл. 1). При этом, каких-либо строгих корреляций между величиной pH и структурными параметрами для частиц креднерита в составе приготовленных образцов установлено не было.

Таблица 2

Сопоставление катализитических характеристик различных медьмарганцевых катализаторов

Условия получения образцов	$W_{25} \times 10^{-15}$ , молекулы/(м <sup>2</sup> ·с)	$T_{50}$ , °C	$E_a$ , кДж/моль	$S$ , м <sup>2</sup> /г
$T$ , °C	CuMn-1			
80	1.2	83	26±2	29
120	1.6	102	30±2	12
180	2.9	122	18±2	8
pH	CuMn-2			
9.6	6.9	19	39±2	56
11.8	1.1	71	31±2	25
12.4	1.2	79	44±2	26
13.1	1.3	78	28±2	31
Предобработка	CuMn-3			
Ar, 350 °C	1.4	77	33±2	28
CO+O <sub>2</sub> , 250 °C	1.3	78	28±2	31
CO+O <sub>2</sub> , 350 °C	8.1	33	37±2	26

Структурные характеристики и размеры кристаллитов для обсуждаемых примесных частиц ( $Mn_3O_4$ ,  $CuO$ ,  $Cu_2O$  и др.) приведены в табл. S1 (табл. S1, Supplementary Materials\*).

**Термогравиметрия.** Образец CuMn-3, представляющий собой частицы  $CuMnO_2$  со структурой типа креднерит, изучен с помощью метода термогравиметрии при нагреве в потоке воздуха и гелия (рис. 2). При нагревании до 250 °C в обеих средах наблюдали потери 1.2 вес.% в связи с удалением адсорбированной воды и поверхностных примесных групп ( $OH^-$  /  $CO_3^{2-}$  /  $HCO_3^-$ ). Нагрев в гелии до 900 °C сопровождался дополнительной потерей 0.5 вес.%, который не может быть отнесен к значимым структурным превращениям. В частности в работе отмечается устойчивость структуры креднерита в инертной среде вплоть до 950 °C [44]. Повышение общей массы

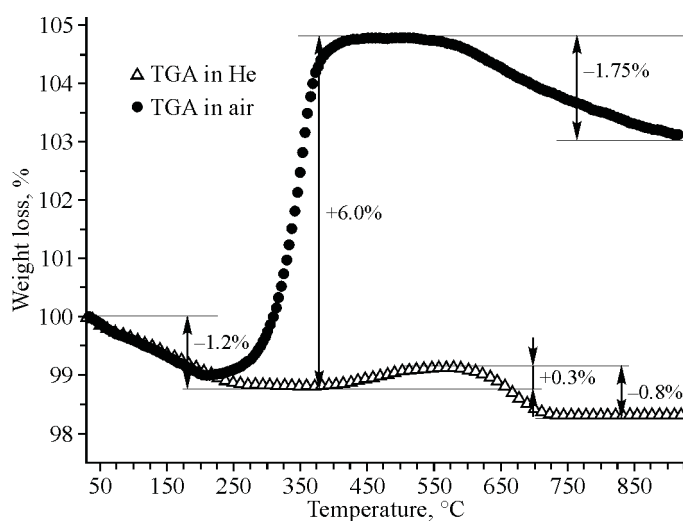


Рис. 2. Кривые ТГА, полученные для образца CuMn-3 в ходе нагрева в воздушной и инертной (He) средах

\* Supplementary materials для этой статьи доступны для авторизованных пользователей по ссылке doi 10.26902/JSC\_id112370.

на 0.3 вес.% в области 450–650 °C связано, вероятно, с поглощением примесного в гелии кислорода. В случае нагрева в потоке воздуха наблюдали заметный прирост массы образца (~6 вес.%) в диапазоне 250–450 °C, как результат поглощения кислорода вследствие окисления меди и марганца, а также формирования шпинельной структуры  $\text{Cu}_x\text{Mn}_{3-x}\text{O}_4$  и частиц  $\text{CuO}$  [44, 45]. В случае прироста массы, близкого к 6.0 вес.%, рассчитанное значение  $u$  равно 1.23. При нагреве на воздухе выше 550 °C образец характеризовался потерей массы вплоть до 1.75 вес.%, что связано с удалением кислорода из шпинельной структуры без выраженного фазового перехода [46].

**Каталитические свойства.** Серии образцов CuMn-1 и CuMn-2 испытаны в качестве катализаторов в реакции окисления CO. Соответствующие каталитические кривые в виде зависимости конверсии CO от температуры представлены на рис. 3. Для всех образцов показаны кривые, полученные в ходе третьего нагрева в смеси  $\text{CO}+\text{O}_2$ , что соответствует стабильному состоянию активной поверхности медьмарганцевых катализаторов (рис. S1, Supplementary materials\*). По мере роста температуры гидротермального синтеза от 80 °C до 180 °C наблюдали сдвиг конверсии CO в сторону больших температур: повышение температуры 50-процентной конверсии ( $T_{50}$ ) от 83 °C до 122 °C (табл. 2), которое означало ухудшение общей каталитической активности. В области температур реакции ниже 70 °C (конверсии CO – не более 20 %) проведено сопоставление каталитической активности ( $W$ ) в расчете на величину удельной поверхности ( $S$ ). С ростом температуры синтеза от 80 °C до 180 °C величина  $S$  для образцов CuMn-1 уменьшалась от 29 m<sup>2</sup>/г до 8 m<sup>2</sup>/г. Удельная каталитическая активность, рассчитанная при 25 °C ( $W_{25}$ ), представлена для испытанных образцов в табл. 2. Несмотря на близкие значения удельной активности, наиболее высокое значение  $W_{25}$  соответствовало образцу CuMn-1, синтезированному при 180 °C (рис. 3b). Причиной повышенной активности образца CuMn-1 ( $T = 180$  °C) может выступать повышенная концентрация частиц  $\text{Mn}_3\text{O}_4$  и  $\text{CuO}$  в его составе, которые также обладают низкотемпературной активностью в реакции окисления CO [47, 48].

Каталитические кривые конверсии CO для серии образцов CuMn-2, приготовленной с варьированием значения pH исходного раствора, представлены на рис. 3c. При pH > 11 значения удельной поверхности, как и каталитические характеристики таких образцов ( $W_{25}$ ,  $T_{50}$ ), были близкими друг к другу, они согласуются также с данными для образца CuMn-1, полученного при 80 °C

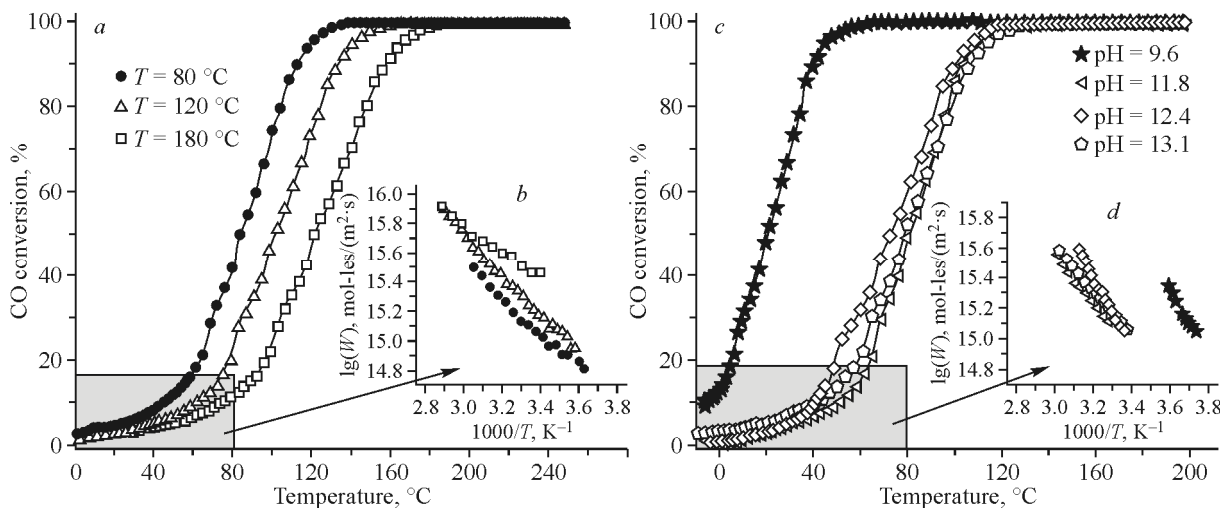


Рис. 3. Каталитические кривые конверсии CO, измеренные в ходе третьего нагрева образцов из серий CuMn-1 (a) и CuMn-2 (c) в реакционной смеси. На вставках (b) и (d) приведены графики зависимости удельной скорости окисления CO в Аррениусовских координатах

\* Supplementary materials для этой статьи доступны для авторизованных пользователей по ссылке doi 10.26902/JSC\_id112370.

(табл. 2). В случае  $\text{pH} = 9.6$  наблюдали повышенную каталитическую активность медьмарганцевого катализатора, что проявлялось в существенном сдвиге кривой конверсии CO в сторону меньших температур ( $T_{50} = 19^\circ\text{C}$ ). Значение удельной активности  $W_{25}$  более чем в 5 раз превышало таковое для образцов, приготовленных при  $\text{pH} > 11$ . Улучшенные каталитические характеристики образца CuMn-2 ( $\text{pH} = 9.6$ ) в сравнении с другими медьмарганцевыми катализаторами, вероятно, связаны с присутствием в его составе комбинации частиц  $\text{Mn}_3\text{O}_4$ ,  $\text{CuO}$  и  $\text{Cu}_2\text{O}$  (табл. 1). Отметим, что фазовый состав образца CuMn-2 ( $\text{pH} = 9.6$ ) после каталитических испытаний не претерпевал качественных изменений, тогда как относительное содержание частиц  $\text{Mn}_3\text{O}_4$ ,  $\text{CuO}$  и  $\text{Cu}_2\text{O}$  менялось с 58 вес.% до 67 вес.%, с 24 вес.% до 28 вес.% и с 18 вес.% до 5 вес.% соответственно. Таким образом, частицы смешанного оксида  $\text{CuMnO}_2$  со структурой типа креднерита уступают в величине удельной каталитической активности композитному катализатору на основе индивидуальных оксидов марганца и меди.

С целью активации частиц креднерита провели дополнительные исследования влияния различных предобработок при различных температурах на итоговые каталитические свойства. Такие эксперименты выполнены для образца CuMn-3, синтезированного при  $80^\circ\text{C}$  и  $\text{pH} = 13.1$ , в составе которого изначально присутствовали только частицы креднерита без других окристаллизованных примесей (табл. 1). Отметим, что стандартные каталитические испытания в реакции окисления CO предполагали три цикла нагрева–охлаждения от 0 до  $250^\circ\text{C}$  в смеси  $\text{CO} + \text{O}_2$ . Таким образом, все испытанные медьмарганцевые катализаторы можно рассматривать как образцы, предобработанные в смеси  $\text{CO} + \text{O}_2$  при  $250^\circ\text{C}$ . Каталитические свойства образца CuMn-3, испытанного в смеси  $\text{CO} + \text{O}_2$  с нагревом до  $250^\circ\text{C}$  и  $350^\circ\text{C}$ , заметно отличались. Нагрев до  $350^\circ\text{C}$  приводил к существенной активации образца CuMn-3, что сопровождалось заметным сдвигом кривой конверсии CO в сторону меньших температур ( $T_{50} = 33^\circ\text{C}$ ). При этом удельная каталитическая активность возрастала в ~6 раз (табл. 2) и достигала значений, близких к таким для наиболее активного образца CuMn-2 ( $\text{pH} = 9.6$ , рис. 4b). В соответствии с данными ТГА взаимодействие частиц креднерита  $\text{CuMnO}_2$  с  $\text{O}_2$  выше  $300^\circ\text{C}$  сопровождалось поглощением кислорода и формированием шпинельной структуры состава  $\text{Cu}_y\text{Mn}_{3-y}\text{O}_4$  (рис. 2). В то же

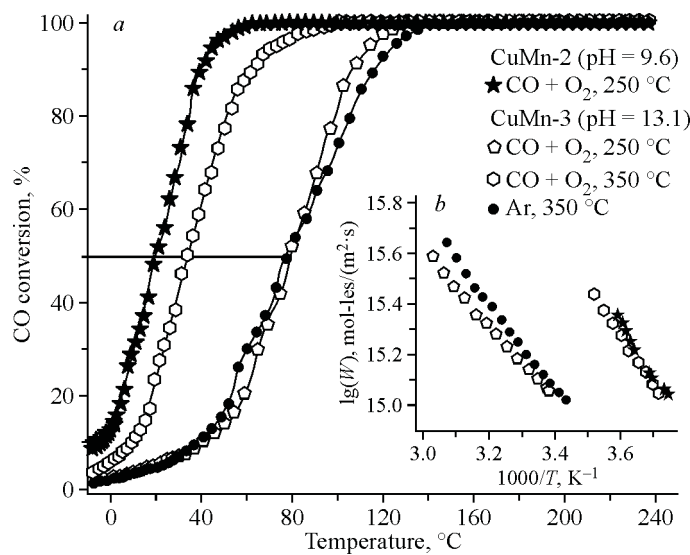


Рис. 4. Каталитические кривые конверсии CO, измеренные в ходе третьего нагрева образцов CuMn-2 и CuMn-3, в зависимости от природы (Ar или  $\text{CO} + \text{O}_2$ ) и температуры ( $250^\circ\text{C}$  или  $350^\circ\text{C}$ ) предварительной обработки (a); на вставке (b) приведены соответствующие зависимости удельной скорости окисления CO в Аррениусовских координатах

время в инертной атмосфере нагрев катализатора вплоть до 400 °C не вызывал существенных структурных превращений и сопровождался только удалением адсорбированных и примесных форм с поверхности частиц CuMnO<sub>2</sub>. Чтобы изучить влияние температурного фактора и эффекта очищения поверхности частиц креднерита для образца CuMn-3 проведена предобработка в аргоне при 350 °C с последующей процедурой каталитического испытания. Как видно из данных рис. 4, такая предобработка не приводила к заметным изменениям каталитических свойств частиц креднерита в сравнении с образцом, испытанным в CO+O<sub>2</sub> при нагреве до 250 °C. Отметим, что в результате предобработкой частиц CuMnO<sub>2</sub> в смеси 20 % O<sub>2</sub>/Ar при 350 °C (1 ч) происходила их существенная активация в реакции окисления CO (рис. S2, Supplementary materials), близкая к наблюдаемой после взаимодействия со смесью CO+O<sub>2</sub> при 350 °C (рис. 4). Можно сделать заключение о близкой природе активации в обоих случаях и ее связи со структурными превращениями, вызванными присутствием кислорода в смеси.

На рис. 5 представлены дифракционные данные для образца CuMn-3, полученные до и после обработок в реакционной смеси CO+O<sub>2</sub> или аргоне при 250–350 °C. Каталитические испытания в смеси CO+O<sub>2</sub> с нагревом до 250 °C не приводили к изменению фазового состава, сохранилась исходная структура типа креднерит. Аналогичное поведение наблюдалось и для предобработки в аргоне при 350 °C. В обоих случаях обнаружено небольшое уменьшение параметров решетки *a* и *b*, а также среднего размера кристаллитов (от 22 нм до 16–17 нм, табл. 1). В то же время нагрев в CO+O<sub>2</sub> до 350 °C приводил практически к полному разрушению исходной структуры и появлению частиц со структурой шпинели Cu<sub>y</sub>Mn<sub>3-y</sub>O<sub>4</sub> (1 ≤ *y* ≤ 1.5). Точное значение *y* может быть определено на основании анализа параметра кубической решетки шпинели, который для обсуждаемого образца был близким к 8.282 Å (табл. S1, Supplementary materials). С ростом *y* увеличивается доля медных центров в тетраэдрических позициях шпинели, что приводит к уменьшению в сравнении с марганцем параметра решетки из-за меньшего радиуса ионов меди [49–51]. На основании рассмотренных данных из литературы была построена зависимость параметра решетки шпинели Cu<sub>y</sub>Mn<sub>3-y</sub>O<sub>4</sub> от величины *y* (рис. S3, Supplementary materials). В соответствии с этой зависимостью для частиц шпинели в составе образца CuMn-3, испытанного в смеси CO+O<sub>2</sub> вплоть до 350 °C, значение *y* находится в диапазоне 1.3–1.5. Таким образом, активация образца CuMn-3, вероятно, связана с формированием частиц со структурой шпинели Cu<sub>y</sub>Mn<sub>3-y</sub>O<sub>4</sub> и, следовательно, модификацией структуры и состава поверхности.

**Состав и состояние поверхности.** Приготовленные медьмарганцевые образцы также изучены методом рентгеновской фотоэлектронной спектроскопии (РФЭС). На рис. 6 приведены

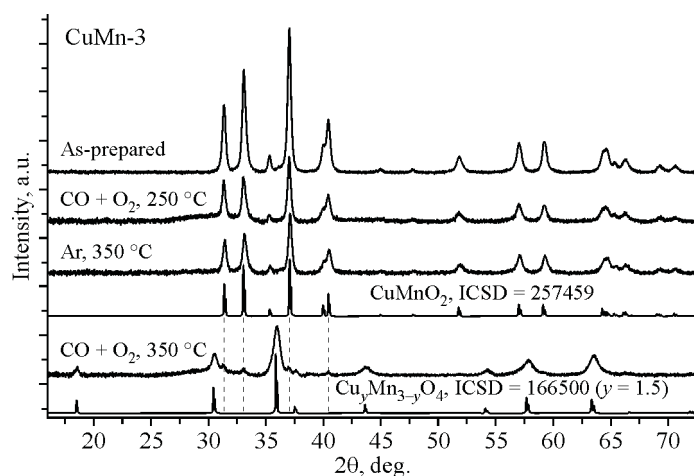


Рис. 5. Рентгенограммы образцов CuMn-3 ( $T = 80$  °C, pH = 13.1) до и после каталитических испытаний с предобработкой в смеси CO+O<sub>2</sub> или в аргоне при различных температурах

наиболее типичные фотоэлектронные спектры на примере образцов серии CuMn-2. У образца CuMn-2 (рН = 13.1), состоящего только из частиц креднерита  $\text{CuMnO}_2$ , значения энергий связи пиков  $\text{Cu } 2p_{3/2}$  (рис. 6a) и  $\text{Mn } 2p_{3/2}$  равны 932.3 эВ и 641.4 эВ соответственно (рис. 6b). Величина расщепления между максимумами линии  $\text{Mn } 2p_{1/2}$  и низкоинтенсивным «shake-up» сателлитом в области 660–670 эВ ( $\Delta E_1$ ) составляет  $10.2 \pm 0.2$  эВ (табл. 3). Данные спектральные характеристики соответствуют состояниям меди и марганца преимущественно в форме  $\text{Cu}^+$  [52–54] и  $\text{Mn}^{3+}$  [55–57]. При анализе линии  $\text{Cu } 2p$  выявлено присутствие  $\text{Cu}^{2+}$  (пик с энергией связи 933.7 эВ) в количестве 42 отн.%. При этом у образцов, в составе которых превалирует фаза креднерита (CuMn-2 рН = 13.1 и CuMn-1  $T = 80$ ), наибольшее содержание  $\text{Cu}^+$ . Также наблюдается характерный пик с энергией связи ~649.0 эВ на спектрах  $\text{Mn } 2p$ , который также наблюдался в других работах по  $\text{CuMnO}_2$  [33, 37]. У образца, полученного при рН = 9.6, положение пика  $\text{Mn } 2p_{3/2}$  определено как 641.2 эВ, что на 0.2 эВ ниже, чем у остальных образцов. Подобное отличие обусловлено присутствием оксида  $\text{Mn}_3\text{O}_4$  [55] в составе этого образца по данным РФА (табл. 1). Остальные спектральные характеристики марганца (положение максимумов  $\text{Mn } 2p_{3/2}$  и величина  $\Delta E_1$ ) для всех образцов серии CuMn-2 были близкими, исключая спектры  $\text{Cu } 2p$  с наиболее выраженным отклонением для образца CuMn-2 (рН = 9.6). На поверхности образцов – исходного (рис. 6e) и подвергшегося нагреву в смеси  $\text{CO}+\text{O}_2$  до 250 °C (рис. 6g) – пик с положением 933.7 эВ обладает наибольшей интенсивностью, что указывает на присутствие меди преимущественно (более 90 %) в форме  $\text{Cu}^{2+}$  (табл. 3) [58–60]. Присутствие выраженных «shake-up» сателлитов полностью подтверждает данную интерпретацию. Вывод согласуется с результатами

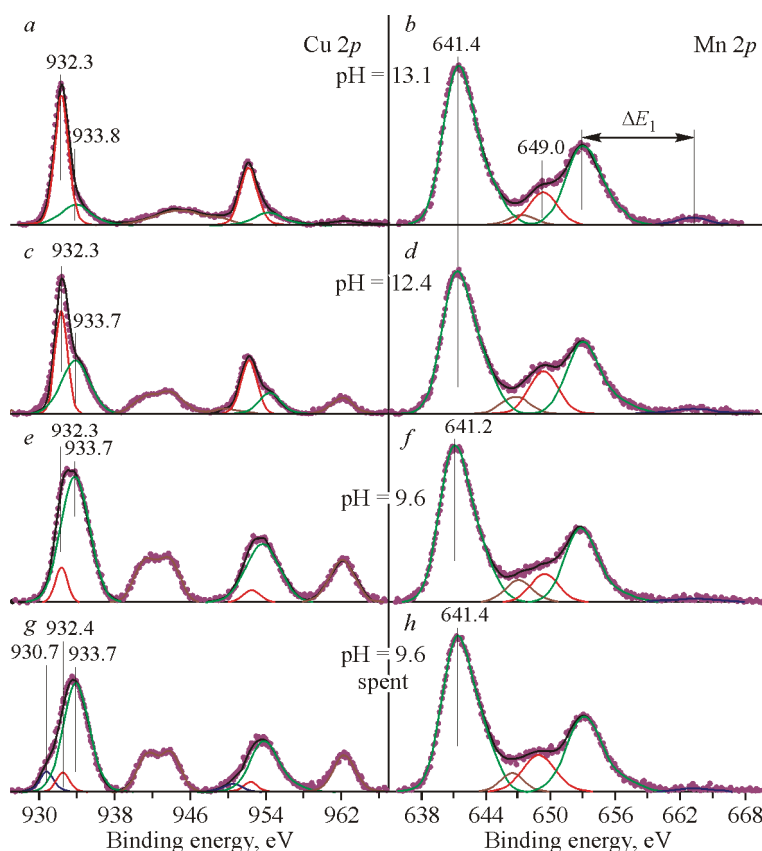


Рис. 6. Разложенные на компоненты фотоэлектронные спектры  $\text{Cu } 2p$  (a, c, e) и  $\text{Mn } 2p$  (b, d, f) серии образцов CuMn-2, полученных при величине рН, равной 13.1 (a, b), 12.4 (c, d) и 9.6 до (e, f) и после (g, h) каталитических испытаний в смеси  $\text{CO}+\text{O}_2$  с нагревом до 250 °C

Таблица 3

*Количественные спектральные характеристики марганца и меди  
для приготовленных образцов медьмарганцевых катализаторов*

Условия получения образцов	Mn 2p <sub>3/2</sub> , эВ	ΔE <sub>1</sub> , эВ (±0.2)	Cu 2p <sub>3/2</sub> , эВ	Cu <sup>+</sup> , %	Cu/Mn
<i>T, °C</i>	CuMn-1				
80	641.4	10.4	932.3	50	1.09
120	641.3	10.2	932.3	48	0.99
180	641.3	10.5	932.3	49	1.02
<i>pH</i>	CuMn-2				
9.6	641.2	10.4	933.3	9	1.11
12.4	641.4	10.2	932.3	36	1.11
13.1	641.4	10.2	932.3	58	0.91
Предобработка	CuMn-3				
Исходный	641.4	10.2	932.3	58	0.91
CO+O <sub>2</sub> , 250 °C	641.4	10.2	932.3	43	0.86
Ar, 350 °C	641.4	10.4	932.3	41	0.84
CO+O <sub>2</sub> , 350 °C	641.4	11.6	930.7, 932.3	39	0.82

рентгенографии, в соответствии с которыми исходный образец представляет собой смесь индивидуальных оксидов меди и марганца, в том числе включает заметное количество частиц CuO (24 вес.%, табл. 1). После каталитических испытаний содержание фазы CuO составило 28 вес.%.

Отметим, что спектральные параметры образцов серии CuMn-2 после каталитических испытаний (табл. S2, Supplementary materials), за исключением образца, полученного при pH = 9.6, существенно не отличаются от таковых для исходных образцов (табл. 3). В случае испытанного образца CuMn-2 (pH = 9.6) наблюдали дополнительный пик Cu 2p<sub>3/2</sub> с положением максимума вблизи 930.7 эВ. Такой пик – характеристический признак формирования структуры шпинели Cu<sub>y</sub>Mn<sub>3-y</sub>O<sub>4</sub> и в соответствии с данными из публикаций обычно относится к ионам Cu<sup>+</sup> в тетраэдрических позициях [23, 61–63]. Также отметим, что соотношение металлов Cu/Mn на поверхности изученных образцов из серий CuMn-1 и CuMn-2 близко к стехиометрическому (0.9–1.1). В случае образцов CuMn-1 заметных различий спектральных линий меди и марганца не обнаружено, а количественные характеристики близки к таковым для образцов серии CuMn-2, полученных при pH = 13.1 и 12.4 (табл. 3).

На рис. 7 приведен анализ данных РФЭС для определения состояния металлов на поверхности образца CuMn-3 до и после различных реакционных обработок. Спектральные характеристики для исходного и предобработанного в аргоне образцов после каталитических испытаний с нагревом до 250 °C в целом близки. Следует отметить уменьшение относительного содержания форм Cu<sup>+</sup> до 42±1 %, что свидетельствует о частичном окислении меди на поверхности в результате взаимодействия с кислородсодержащей смесью при 250 °C. Также отметим уменьшение соотношения Cu/Mn после каталитических испытаний для образцов серии CuMn-2 и CuMn-3 (табл. 3 и S2, Supplementary materials). Такое поведение, наиболее вероятно, связано с температурным воздействием и характерно для смешанных медьмарганцевых оксидов. Увеличение температуры способствует обогащению поверхности марганцем: при нагреве происходит диффузия меди в объем [64]. В случае образца, испытанного в реакционной смеси CO+O<sub>2</sub> с нагревом до 350 °C (рис. 7g), наблюдали появление пика Cu 2p<sub>3/2</sub> с энергией связи 930.7 эВ, который указывает на формировании шпинельной структуры Cu<sub>y</sub>Mn<sub>3-y</sub>O<sub>4</sub>. При этом отмечен рост относительной интенсивности «shake-up» сателлита в области 940–945 эВ, что отражает увеличение поверхностной концентрации Cu<sup>2+</sup> в результате взаимодействия с O<sub>2</sub>. Также отме-

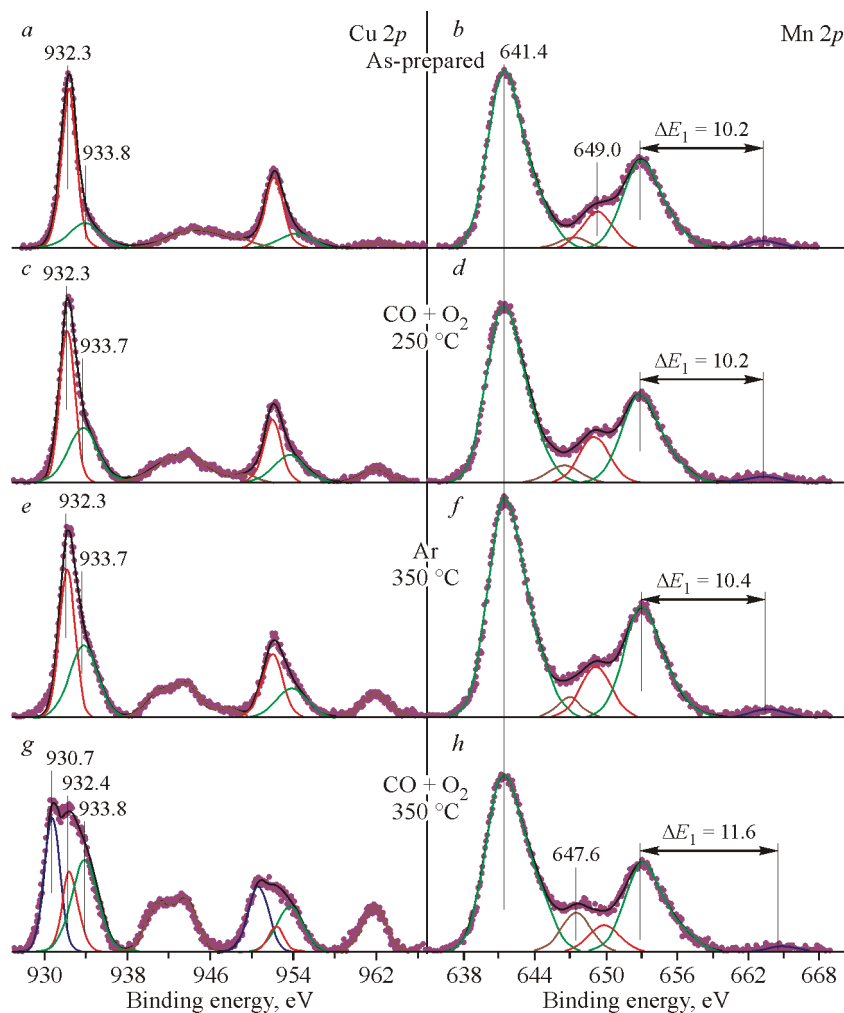


Рис. 7. Разложенные на компоненты фотоэлектронные спектры Cu 2p (a, c, e, g) и Mn 2p (b, d, f, h) образца CuMn-3 ( $T = 80\text{ }^{\circ}\text{C}$ ,  $\text{pH} = 13.1$ ) до и после различных реакционных обработок: исходный (a, b); после испытаний в смеси  $\text{CO} + \text{O}_2$  с нагревом до  $250\text{ }^{\circ}\text{C}$  (c, d); после предобработки в Ar при  $350\text{ }^{\circ}\text{C}$  с последующим нагревом в смеси  $\text{CO} + \text{O}_2$  до  $250\text{ }^{\circ}\text{C}$  (e, f); после испытаний в смеси  $\text{CO} + \text{O}_2$  с нагревом до  $350\text{ }^{\circ}\text{C}$  (g, h)

тим изменения спектральных характеристик для линии Mn 2p (рис. 7h): (1) увеличение интенсивности пика с энергией связи  $647.6\text{ eV}$ ; (2) изменение параметра  $\Delta E_1$  с  $\sim 10.2\text{ eV}$  до  $11.6\text{ eV}$ . В то же время положение максимума Mn  $2p_{3/2}$  не менялось. Следует иметь в виду, что интенсивный «shake-up» сателлит линии Mn  $2p_{3/2}$  с энергией связи  $\sim 648\text{ eV}$  указывает на присутствие формы Mn $^{2+}$  [65, 66], а значение величины  $\Delta E_1$  более  $11\text{ eV}$  соответствует состоянию Mn $^{4+}$  [67, 68]. Mn $^{4+}$  может появиться в результате окисления Mn $^{3+}$  при взаимодействии с O $_2$  в ходе нагрева в реакционной смеси до  $350\text{ }^{\circ}\text{C}$ . Также подобные преобразования могут косвенно говорить о появлении на поверхности CuMn-3 состояний Mn $^{2+}$  и Mn $^{4+}$  за счет диспропорционирования форм Mn $^{3+}$ :



Состояние Mn $^{3+}$ , вероятно, остается превалирующим, так как положение максимума основного пика Mn  $2p_{3/2}$  не меняется. Заметим, что ионы Mn $^{2+}$  и Mn $^{4+}$  способны сосуществовать с ионами Mn $^{3+}$  в рамках структуры шпинели Cu $_y$ Mn $_{3-y}$ O $_4$  [63, 69]. Приведенные данные о фор-

мировании шпинельной структуры на поверхности образца CuMn-3 (CO+O<sub>2</sub>, 350 °C) согласуются с данными рентгенографии (рис. 5).

## ОБСУЖДЕНИЕ

Изучено влияние условий синтеза медьмарганцевых смешанных оксидов на физико-химические и каталитические свойства в реакции окисления CO. Показано, что для приготовления рентгенографически однофазного смешанного оксида состава CuMnO<sub>2</sub> со структурой типа креднерита необходимо проводить синтез при 80 °C с величиной pH раствора выше 13 с использованием нитратов меди(II) и марганца(II) в качестве прекурсоров. При величине pH в диапазоне от 11 до 13, помимо смешанного оксида, формируются частицы CuO/Cu<sub>2</sub>O и Mn<sub>3</sub>O<sub>4</sub>, тогда как при pH ниже 10 частицы фазы креднерита CuMnO<sub>2</sub> не образуются.

В ходе испытаний приготовленных образцов установлено, что частицы CuMnO<sub>2</sub> со структурой типа креднерита способны к эффективному каталитическому окислению CO только при температуре выше 40 °C. На поверхности таких частиц марганец присутствует в форме Mn<sup>3+</sup>, а медь представлена смесью состояний Cu<sup>+</sup> и Cu<sup>2+</sup> с содержанием 58 % и 42 % соответственно (табл. 3). При этом остальные образцы характеризуются содержанием Cu<sup>2+</sup> не менее ~60 %. Таким образом, кристаллизация структуры креднерита CuMnO<sub>2</sub> способствует стабилизации повышенной концентрации форм Cu<sup>+</sup> на поверхности (табл. 3). Отметим, что наиболее высокую каталитическую активность демонстрировали образцы с наименьшим содержанием фазы креднерита (CuMn-3, CO+O<sub>2</sub>, 350 °C) или ее полным отсутствием (CuMn-2, pH = 9.6, табл. 1). Такие образцы способны к эффективному окислению CO при температурах ниже комнатной (рис. 4). На поверхности указанных образцов отмечалась повышенная концентрация ионов Cu<sup>2+</sup>, вплоть до 90 % для образца pH = 9.6 (табл. 3). Согласно данным из литературы, дезактивированные образцы смешанного медьмарганцевого оксида характеризуются повышенным соотношением Cu<sup>+/Cu<sup>2+</sup> на поверхности [37, 70], что обусловлено формированием прочных комплексов Cu<sup>+</sup>—CO, блокирующих поверхность [71] и препятствующих переносу заряда в системе медь–марганец по уравнению (2).</sup>



Уменьшение доли форм Cu<sup>2+</sup> и Mn<sup>3+</sup> как результат смещения равновесия (2) вправо приводит к падению каталитической активности медьмарганцевых материалов в реакциях окисления [72, 73]. Отметим, что, несмотря на близость удельной каталитической активности образцов CuMn-2 (pH = 9.6) и CuMn-3 (CO+O<sub>2</sub>, 350 °C) (рис. 4), их фазовые составы заметно различаются: в первом случае наблюдали смесь частиц Cu<sub>2</sub>O, CuO и Mn<sub>3</sub>O<sub>4</sub>, а в последнем преобладала фаза со структурой шпинели Cu<sub>y</sub>Mn<sub>3-y</sub>O<sub>4</sub> (табл. 1). Для обоих образцов по данным РФЭС наблюдается характерный пик Cu 2p<sub>3/2</sub> с энергией связи ~930.7 эВ, который обычно связывают со стабилизацией ионов Cu<sup>+</sup> в тетраэдрических позициях шпинели. Так, для поверхности активных медьмарганцевых образцов характерно присутствие шпинельной структуры. Вероятно, в результате нагрева в реакционной смеси до 250 °C образца CuMn-2 (pH = 9.6) на границе контакта частиц CuO<sub>x</sub> и MnO<sub>x</sub> формируется аморфный интерфейс, который способен к эффективному окислению CO при низких температурах за счет хемосорбции CO и кислорода на медных и марганцевых центрах соответственно [20, 26]. Можно отметить, что именно присутствие фазы шпинели в составе медьмарганцевых гопкалитовых катализаторов обеспечивает реализацию низкотемпературной каталитической активности [15, 24, 27]. Это согласуется с результатами настоящей работы: заметное улучшение каталитических свойств для образца CuMn-3 после нагрева в смеси CO+O<sub>2</sub> до 350 °C, поскольку в этих условиях происходило появление частиц шпинели Cu<sub>y</sub>Mn<sub>3-y</sub>O<sub>4</sub> (табл. 1). Обобщая данные из литературы и полученные в настоящей работе, можно предположить, что каталитически активный интерфейс, формируемый в реакционных условиях на границе контакта частиц CuO<sub>x</sub> и MnO<sub>x</sub>, может характеризоваться разупорядоченной структурой шпинельного типа (рис. 6g). Таким образом, для осуществления высокоэффективного окисления CO на медьмарганцевых катализаторах необходимо создавать стабильные формы меди и марганца на границе контакта частиц медных и марганцевых оксидов.

фективного маршрута низкотемпературного окисления CO на поверхности медьмарганцевых оксидных катализаторов необходимо формирование фрагментов со структурой шпинели  $\text{Cu}_y\text{Mn}_{3-y}\text{O}_4$ . Указанное может быть реализовано путем формирования объемной структуры частиц шпинели или поверхностной фазы шпинели на межфазной границе индивидуальных частиц окисленной меди ( $\text{CuO}/\text{Cu}_2\text{O}$ ) и оксида марганца ( $\text{Mn}_3\text{O}_4$ ) непосредственно в реакционных условиях. Частицы  $\text{CuMnO}_2$  со структурой типа креднерит выступают в качестве удобного предшественника для приготовления высокоэффективного медьмарганцевого катализатора низкотемпературного окисления CO в связи с тем, что формирование активной структуры такого катализатора может быть осуществлено непосредственно в реакционных условиях при нагреве до 350 °C.

## ВЫВОДЫ

В работе проведен гидротермальный синтез частиц смешанного оксида меди и марганца  $\text{CuMnO}_2$  со структурой типа креднерит. Показано, что рост температуры синтеза от 80 °C до 180 °C способствует увеличению количества примесных окристаллизованных фаз ( $\text{CuO}$ ,  $\text{Mn}_3\text{O}_4$ ) и снижает дисперсность итогового образца. При температуре синтеза 80 °C установлено влияние величины pH исходного раствора на итоговый фазовый состав медьмарганцевых оксидов. С ростом pH возрастает вклад частиц  $\text{CuMnO}_2$  вплоть до 100 % при  $\text{pH} > 13$ , тогда как при  $\text{pH} < 10$  формируются только частицы индивидуальных оксидов  $\text{CuO}$ ,  $\text{Cu}_2\text{O}$  и  $\text{Mn}_3\text{O}_4$ . По данным термогравиметрии структура креднерита устойчива в инертной среде вплоть до 950 °C, тогда как на воздухе выше 250 °C наблюдается формирование шпинели  $\text{Cu}_y\text{Mn}_{3-y}\text{O}_4$ . Показано, что увеличение температуры синтеза до 180 °C приводит к небольшому росту удельной катализической активности в реакции окисления CO, тогда как вне зависимости от значения pH образцы, в которых преобладают частицы креднерита  $\text{CuMnO}_2$ , характеризовались близкими катализическими свойствами. Заметное повышение удельной активности в окислении CO при комнатной температуре (более чем в 5 раз) наблюдали в случае нагрева частиц креднерита в смеси  $\text{CO}+\text{O}_2$  до 350 °C, что связано с формированием структуры шпинели  $\text{Cu}_y\text{Mn}_{3-y}\text{O}_4$ . Удельная катализическая активность образованных частиц  $\text{Cu}_y\text{Mn}_{3-y}\text{O}_4$  сопоставима с таковой для активированной в реакционных условиях смеси индивидуальных оксидов меди и марганца. Методом РФЭС установлено, что в результате реакции на межфазной границе окисленных частиц меди ( $\text{CuO}/\text{Cu}_2\text{O}$ ) и марганца ( $\text{Mn}_3\text{O}_4$ ) также формируются зародыши шпинельной структуры. Показано, что активация медьмарганцевых катализаторов сопровождается повышением поверхностной концентрации ионов  $\text{Cu}^{2+}$  и частичным диспропорционированием ионов  $\text{Mn}^{3+}$  на комбинацию  $\text{Mn}^{2+}/\text{Mn}^{4+}$ . В работе подчеркивается, что частицы  $\text{CuMnO}_2$  выступают в качестве предшественника для формирования высоко активной в низкотемпературном окислении CO структуры шпинели  $\text{Cu}_y\text{Mn}_{3-y}\text{O}_4$  непосредственно в реакционных условиях.

Работа выполнена при поддержке Российского научного фонда (грант № 21-73-00183 от 28.07.2021 г.).

## СПИСОК ЛИТЕРАТУРЫ

1. M.L. Bleeker. Carbon monoxide intoxication. *Handb. Clin. Neurol.*, **2015**, 131, 191–203. <https://doi.org/10.1016/b978-0-444-62627-1.00024-x>
2. P. Flachsbart. Exposure to carbon monoxide. *Exposure Anal.*, **2006**, 113–146. <https://doi.org/10.1201/9781420012637.ch6>
3. M. Haruta, T. Kobayashi, H. Sano, N. Yamada. Novel gold catalysts for the oxidation of carbon monoxide at a temperature far below 0 °C. *Chem. Lett.*, **1987**, 16(2), 405–408. <https://doi.org/10.1246/cl.1987.405>
4. T.S. Kim, J.D. Stiehl, C.T. Reeves, R.J. Meyer, C.B. Mullins. Cryogenic CO oxidation on  $\text{TiO}_2$ -supported gold nanoclusters precovered with atomic oxygen. *J. Am. Chem. Soc.*, **2003**, 125(8), 2018–2019. <https://doi.org/10.1021/ja028719p>

5. X.L. Wang, X.P. Fu, W.W. Wang, C. Ma, R. Si, C.J. Jia. Effect of structural evolution of gold species supported on ceria in catalyzing CO oxidation. *J. Phys. Chem. C*, **2019**, 123(14), 9001–9012. <https://doi.org/10.1021/acs.jpcc.9b00096>
6. E.M. Slavinskaya, R.V. Gulyaev, A.V. Zadesenets, O.A. Stonkus, V.I. Zaikovskii, Y.V. Shubin, S.V. Korenev, A.I. Boronin. Low-temperature CO oxidation by Pd/CeO<sub>2</sub> catalysts synthesized using the coprecipitation method. *Appl. Catal., B*, **2015**, 166–167, 91–103. <https://doi.org/10.1016/j.apcatb.2014.11.015>
7. B. Qiao, L. Liu, J. Zhang, Y. Deng. Preparation of highly effective ferric hydroxide supported noble metal catalysts for CO oxidations: From gold to palladium. *J. Catal.*, **2009**, 261(2), 241–244. <https://doi.org/10.1016/j.jcat.2008.11.012>
8. R. Kopeleent, J.A. Van Bokhoven, J. Szlachetko, J. Acinta Edebeli, C. Paun, M. Nachtegaal, O.V. Safonova. Catalytically active and spectator Ce<sup>3+</sup> in ceria-supported metal catalysts. *Angew. Chem., Int. Ed.*, **2015**, 54(30), 8728–8731. <https://doi.org/10.1002/anie.201503022>
9. A.I. Boronin, E.M. Slavinskaya, A. Figueroba, A.I. Stadnichenko, T.Y. Kardash, O.A. Stonkus, E.A. Fedorova, V.V. Muravev, V.A. Svetlichnyi, A. Bruix, K.M. Neyman. CO oxidation activity of Pt/CeO<sub>2</sub> catalysts below 0 °C: platinum loading effects. *Appl. Catal., B*, **2021**, 286. <https://doi.org/10.1016/j.apcatb.2021.119931>
10. E.M. Slavinskaya, A.I. Stadnichenko, J.E. Quinlivan Domínguez, O.A. Stonkus, M. Vorokhta, B. Šmíd, P. Castro-Latorre, A. Bruix, K.M. Neyman, A.I. Boronin. States of Pt/CeO<sub>2</sub> catalysts for CO oxidation below room temperature. *J. Catal.*, **2023**, 421, 285–299. <https://doi.org/10.1016/j.jcat.2023.03.004>
11. J. Jansson. Low-temperature CO oxidation over Co<sub>3</sub>O<sub>4</sub>/Al<sub>2</sub>O<sub>3</sub>. *J. Catal.*, **2000**, 194(1), 55–60. <https://doi.org/10.1006/jcat.2000.2924>
12. Y. Lou, X.M. Cao, J. Lan, L. Wang, Q. Dai, Y. Guo, J. Ma, Z. Zhao, Y. Guo, P. Hu, G. Lu. Ultralow-temperature CO oxidation on an In<sub>2</sub>O<sub>3</sub>—Co<sub>3</sub>O<sub>4</sub> catalyst: A strategy to tune CO adsorption strength and oxygen activation simultaneously. *Chem. Commun.*, **2014**, 50(52), 6835–6838. <https://doi.org/10.1039/c4cc00036f>
13. X. Xie, Y. Li, Z.Q. Liu, M. Haruta, W. Shen. Low-temperature oxidation of CO catalysed by Co<sub>3</sub>O<sub>4</sub> nanorods. *Nature*, **2009**, 458(7239), 746–749. <https://doi.org/10.1038/nature07877>
14. K. Wegner, R. Zippel, M. Medicus, E. Schade, J. Grothe, S. Kaskel. Molecular precursors for tailoring humidity tolerance of nanoscale hopcalite catalysts via flame spray pyrolysis. *ChemCatChem*, **2019**, 11(18), 4593–4603. <https://doi.org/10.1002/cctc.201900990>
15. C. Jones, K.J. Cole, S.H. Taylor, M.J. Crudace, G.J. Hutchings. Copper manganese oxide catalysts for ambient temperature carbon monoxide oxidation: Effect of calcination on activity. *J. Mol. Catal. A: Chem.*, **2009**, 305(1–2), 121–124. <https://doi.org/10.1016/j.molcata.2008.10.027>
16. G.J. Hutchings, A.A. Mirzaei, R.W. Joyner, M.R.H. Siddiqui, S.H. Taylor. Effect of preparation conditions on the catalytic performance of copper manganese oxide catalysts for CO oxidation. *Appl. Catal., A*, **1998**, 166(1), 143–152. [https://doi.org/10.1016/s0926-860x\(97\)00248-2](https://doi.org/10.1016/s0926-860x(97)00248-2)
17. D.R. Merrill, C.C. Scalione. Catalytic oxidation of carbon monoxide at ordinary temperatures. *J. Am. Chem. Soc.*, **1921**, 43, 1982–2002. <https://doi.org/10.1002/bbpc.19820860109>
18. S. Dey, G. Chandra Dhal, D. Mohan, R. Prasad. Synthesis of silver promoted CuMnO<sub>x</sub> catalyst for ambient temperature oxidation of carbon monoxide. *J. Sci.: Adv. Mater. Devices*, **2019**, 4(1), 47–56. <https://doi.org/10.1016/j.jsamd.2019.01.008>
19. J. Pei, Y. Lu, X. Yin. Catalytic decomposition of ozone by CuO/MnO<sub>2</sub>-performance, kinetics and application analysis. *Procedia Eng.*, **2015**, 121, 792–800. <https://doi.org/10.1016/j.proeng.2015.09.032>
20. F.C. Buciuman, F. Patcas, T. Hahn. A spillover approach to oxidation catalysis over copper and manganese mixed oxides. *Chem. Eng. Process.*, **1999**, 38(4–6), 563–569. [https://doi.org/10.1016/s0255-2701\(99\)00053-7](https://doi.org/10.1016/s0255-2701(99)00053-7)
21. T. Biemelt, K. Wegner, J. Teichert, M.R. Lohe, J. Martin, J. Grothe, S. Kaskel. Hopcalite nanoparticle catalysts with high water vapour stability for catalytic oxidation of carbon monoxide. *Appl. Catal., B*, **2016**, 184, 208–215. <https://doi.org/10.1016/j.apcatb.2015.11.008>
22. S. Vepřek, D.L. Cocke, S. Kehl, H.R. Oswald. Mechanism of the deactivation of Hopcalite catalysts studied by XPS, ISS, and other techniques. *J. Catal.*, **1986**, 100(1), 250–263. [https://doi.org/10.1016/0021-9517\(86\)90090-4](https://doi.org/10.1016/0021-9517(86)90090-4)
23. H.E. Solt, P. Péter, N. Németh, M. Mohai, I. István, E. Sajó, S. Szilvia, K. Klébert, F.P. Franguelli, L.A. Fogaca, R.P. Pawar, L. László, L. Lászlókótai. Temperature-limited synthesis of copper manganites along the borderline of the amorphous/crystalline state and their catalytic activity in CO oxidation. *ACS Omega*, **2021**, 6(2), 1523–1533. <https://doi.org/10.1021/acsomega.0c05301>
24. S.A. Kondrat, T.E. Davies, Z. Zu, P. Boldrin, J.K. Bartley, A.F. Carley, S.H. Taylor, M.J. Rosseinsky, G.J. Hutchings. The effect of heat treatment on phase formation of copper manganese oxide: Influence on catalytic activity for ambient temperature carbon monoxide oxidation. *J. Catal.*, **2011**, 281(2), 279–289. <https://doi.org/10.1016/j.jcat.2011.05.012>

25. J. Wang, J. Chen, L. Peng, H. Zhang, Z. Jiang, K. Xiong, Q. Yang, J. Chen, N. Yang. On the CuO—Mn<sub>2</sub>O<sub>3</sub> oxide-pair in CuMnO<sub>x</sub> multi-oxide complexes: Structural and catalytic studies. *Appl. Surf. Sci.*, **2022**, 575. <https://doi.org/10.1016/j.apsusc.2021.151733>
26. K. Qian, Z. Qian, Q. Hua, Z. Jiang, W. Huang. Structure–activity relationship of CuO/MnO<sub>2</sub> catalysts in CO oxidation. *Appl. Surf. Sci.*, **2013**, 273, 357–363. <https://doi.org/10.1016/j.apsusc.2013.02.043>
27. T. Liu, Y. Yao, L. Wei, Z. Shi, L. Han, H. Yuan, B. Li, L. Dong, F. Wang, C. Sun. Preparation and evaluation of copper-manganese oxide as a high-efficiency catalyst for CO oxidation and NO reduction by CO. *J. Phys. Chem. C*, **2017**, 121(23), 12757–12770. <https://doi.org/10.1021/acs.jpcc.7b02052>
28. S.B. Kanungo. Physicochemical properties of MnO<sub>2</sub> and MnO<sub>2</sub>CuO and their relationship with the catalytic activity for H<sub>2</sub>O<sub>2</sub> decomposition and CO oxidation. *J. Catal.*, **1979**, 58(3), 419–435. [https://doi.org/10.1016/0021-9517\(79\)90280-x](https://doi.org/10.1016/0021-9517(79)90280-x)
29. H. Cao, X. Li, Y. Chen, M. Gong, J. Wang. Effect of loading content of copper oxides on performance of Mn-Cu mixed oxide catalysts for catalytic combustion of benzene. *J. Rare Earths*, **2012**, 30(9), 871–877. [https://doi.org/10.1016/s1002-0721\(12\)60148-3](https://doi.org/10.1016/s1002-0721(12)60148-3)
30. Y. Zhang, G. Qin, J. Zheng, Y. Li, Z. Huang, X. Han. Promotion effect of CO oxidation via activation of surface lattice oxygen by single atom Cu/MnO<sub>2</sub> catalyst. *Mol. Catal.*, **2023**, 540, 113057. <https://doi.org/10.1016/j.mcat.2023.113057>
31. A.P. Amrute, Z. Łodziana, C. Mondelli, F. Krumeich, J. Pérez-Ramírez. Solid-state chemistry of cuprous delafossites: Synthesis and stability aspects. *Chem. Mater.*, **2013**, 25(21), 4423–4435. <https://doi.org/10.1021/cm402902m>
32. C. Ma, J. Pan, C. Chen, Y. Dong, F. Yao, F. Wang, M. Song. Investigation into the roles of interfacial H<sub>2</sub>O structure in catalytic oxidation of HCHO and CO over CuMnO<sub>2</sub> catalysts. *J. Environ. Sci.*, **2024**, 137, 310–320. <https://doi.org/10.1016/j.jes.2022.10.044>
33. Q. Zhang, D. Xiong, H. Li, D. Xia, H. Tao, X. Zhao. A facile hydrothermal route to synthesize delafossite CuMnO<sub>2</sub> nanocrystals. *J. Mater. Sci. Mater. Electron.*, **2015**, 26(12), 10159–10163. <https://doi.org/10.1007/s10854-015-3702-z>
34. L. Wang, M. Arif, G. Duan, S. Chen, X. Liu. A high performance quasi-solid-state supercapacitor based on CuMnO<sub>2</sub> nanoparticles. *J. Power Sources*, **2017**, 355, 53–61. <https://doi.org/10.1016/j.jpowsour.2017.04.054>
35. W.C. Sheets, E. Mugnier, A. Barnabé, T.J. Marks, K.R. Poepelmeier. Hydrothermal synthesis of delafosseite-type oxides. *Chem. Mater.*, **2006**, 18(1), 7–20. <https://doi.org/10.1021/cm051791c>
36. D. Xiong, Q. Zhang, Z. Du, S. Kumar Verma, H. Li, X. Zhao. CuMnO<sub>2</sub> synthesis. *New J. Chem.*, **2016**, 40, 6498. <https://doi.org/10.1039/c6nj00253f>
37. W. Wallace. Metal Oxide Preparation for Heterogeneous Catalysis: Ph.D. Thesis. Cardiff, Wales, UK: Cardiff University, **2019**.
38. TOPAS, version 4.2. Madison, Wisconsin, USA: Bruker AXS Inc., **2009**.
39. D.A. Svintsitskiy, M.K. Lazarev, T.Y. Kardash, E.A. Fedorova, E.M. Slavinskaya, A.I. Boronin. Mixed silver-nickel oxide AgNiO<sub>2</sub>: Probing by CO during XPS study. *J. Chem. Phys.*, **2020**, 152(4), 044707. <https://doi.org/10.1063/1.5138237>
40. D.A. Svintsitskiy, N.A. Sokovikov, E.M. Slavinskaya, E.A. Fedorova, A.I. Boronin. Delafossite Ag<sub>2</sub>CuMnO<sub>4</sub> is a novel catalytic material for low-temperature oxidation of CO and NH<sub>3</sub>. *ChemCatChem*, **2022**, 14(3), e202101697. <https://doi.org/10.1002/cctc.202101697>
41. D.A. Svintsitskiy, V.M. Metalnikova, S.V. Cherepanova, A.I. Boronin. Structural features and catalytic properties of AgFeO<sub>2</sub> binary oxide in the CO oxidation reaction. *J. Struct. Chem.*, **2022**, 63(9), 1496–1508. <https://doi.org/https://doi.org/10.1134/s0022476622090116>
42. D.A. Svintsitskiy, T.Y. Kardash, E.A. Fedorova, E.M. Slavinskaya, A.I. Boronin. Room temperature CO oxidation over AgCuO<sub>2</sub>. *Appl. Surf. Sci.*, **2020**, 525, 1–10. <https://doi.org/10.1016/j.apsusc.2020.146523>
43. C.P. Yi, S.R. Majid. The electrochemical performance of deposited manganese oxide-based film as electrode material for electrochemical capacitor application. In: Semiconductors – Growth and Characterization / Eds. R. Inguanta, C. Sunseri. InTech, **2018**, Ch. 7. <https://doi.org/10.5772/intechopen.71957>
44. N. Benreguia, A. Barnabé, M. Trari. Preparation and characterization of the semiconductor CuMnO<sub>2</sub> by sol-gel route. *Mater. Sci. Semicond. Process.*, **2016**, 56(3), 14–19. <https://doi.org/10.1016/j.mssp.2016.07.012>
45. Y. Bessekhouad, Y. Gabes, A. Bouguelia, M. Trari. The physical and photo electrochemical characterization of the crednerite CuMnO<sub>2</sub>. *J. Mater. Sci.*, **2007**, 42(15), 6469–6476. <https://doi.org/10.1007/s10853-006-1250-x>
46. J. Fan, Y. Zhang, Y. Yang, J. Hao, Y. Wang, A. Qian. Performance of thermochemical energy storage for spinel CuMn<sub>2</sub>O<sub>4</sub> material. *J. Energy Storage*, **2021**, 41, 102881. <https://doi.org/10.1016/j.est.2021.102881>
47. V. Iablokov, K. Frey, O. Geszti, N. Kruse. High catalytic activity in CO oxidation over MnO<sub>x</sub> nanocrystals. *Catal. Lett.*, **2010**, 134(3–4), 210–216. <https://doi.org/10.1007/s10562-009-0244-0>

48. K. Zhou, R. Wang, B. Xu, Y. Li. Synthesis, characterization and catalytic properties of CuO nanocrystals with various shapes. *Nanotechnology*, **2006**, 17(15), 3939–3943. <https://doi.org/10.1088/0957-4484/17/15/055>
49. R.E. Vandenberghe, G.G. Robbrecht, V.A.M. Brabers. Structure and ionic configuration of oxidic copper-manganese spinels ( $\text{Cu}_x\text{Mn}_{3-x}\text{O}_4$ ). *Phys. Status Solidi*, **1976**, 34(2), 583–592. <https://doi.org/10.1002/pssa.2210340221>
50. E. Ríos, S. Abarca, P. Daccarett, H. Nguyen Cong, D. Martel, J.F. Marco, J.R. Gancedo, J.L. Gautier. Electrocatalysis of oxygen reduction on  $\text{Cu}_x\text{Mn}_{3-x}\text{O}_4$  ( $1.0 \leq x \leq 1.4$ ) spinel particles/polypyrrole composite electrodes. *Int. J. Hydrogen Energy*, **2008**, 33(19), 4945–4954. <https://doi.org/10.1016/j.ijhydene.2008.06.030>
51. M. Beley, L. Padel, J.C. Bernier. Etudes et propriétés des composés  $\text{Cu}_x\text{Mn}_{3-x}\text{O}_4$  (avec  $x = 1.0, 1.2$  et  $1.4$ ). *Ann. Chim.*, **1978**, 3, 429–452.
52. D.A. Svintitskiy, A.P. Chupakhin, E.M. Slavinskaya, O.A. Stonkus, A.I. Stadnichenko, S.V. Koscheev, A.I. Boronin. Study of cupric oxide nanopowders as efficient catalysts for low-temperature CO oxidation. *J. Mol. Catal., A: Chem.*, **2013**, 368–369, 95–106. <https://doi.org/10.1016/j.molcata.2012.11.015>
53. J.P. Tobin, W. Hirschwald, J. Cunningham. XPS and XAES studies of transient enhancement of Cu<sup>1+</sup> at CuO surfaces during vacuum outgassing. *Appl. Surf. Sci.*, **1983**, 16(3–4), 441–452. [https://doi.org/10.1016/0378-5963\(83\)90085-5](https://doi.org/10.1016/0378-5963(83)90085-5)
54. S. Poulston, P.M. Parlett, P. Stone, M. Bowker. Surface oxidation and reduction of CuO and Cu<sub>2</sub>O studied using XPS and XAES. *Surf. Interface Anal.*, **1996**, 24(12), 811–820. [https://doi.org/10.1002/\(sici\)1096-9918\(199611\)24:12<811::aid-sia191>3.0.co;2-z](https://doi.org/10.1002/(sici)1096-9918(199611)24:12<811::aid-sia191>3.0.co;2-z)
55. M. Oku, K. Hirokawa, S. Ikeda. X-ray photoelectron spectroscopy of manganese-oxygen systems. *J. Electron Spectrosc. Relat. Phenom.*, **1975**, 7(5), 465–473. [https://doi.org/10.1016/0368-2048\(75\)85010-9](https://doi.org/10.1016/0368-2048(75)85010-9)
56. J.L. Junta, M.F. Hochella. Manganese(II) oxidation at mineral surfaces: A microscopic and spectroscopic study. *Geochim. Cosmochim. Acta*, **1994**, 58(22), 4985–4999. [https://doi.org/10.1016/0016-7037\(94\)90226-7](https://doi.org/10.1016/0016-7037(94)90226-7)
57. M.A. Stranick. Mn<sub>2</sub>O<sub>3</sub> by XPS. *Surf. Sci. Spectra*, **1999**, 6(1). <https://doi.org/10.1116/1.1247889>
58. M.C. Biesinger. Advanced analysis of copper X-ray photoelectron spectra. *Surf. Interface Anal.*, **2017**, 49(13), 1325–1334. <https://doi.org/10.1002/sia.6239>
59. G. Schön. ESCA studies of Cu, Cu<sub>2</sub>O and CuO. *Surf. Sci.*, **1973**, 35, 96–108. [https://doi.org/10.1016/0039-6028\(73\)90206-9](https://doi.org/10.1016/0039-6028(73)90206-9)
60. P. Steiner, V. Kinsinger, I. Sander, B. Siegwart, S. Hüfner, C. Politis, R. Hoppe, H.P. Müller. The Cu valence in the high T<sub>c</sub> superconductors and in monovalent, divalent and trivalent copper oxides determined from XPS core level spectroscopy. *Z. Phys. B: Condens. Matter*, **1987**, 67(4), 497–502. <https://doi.org/10.1007/bf01304119>
61. M. Lenglet, A. D'Huysser, J. Kasperek, J.P. Bonnelle, J. Durr. Caractérisation des états d'oxydation du cuivre et du manganèse dans quelques manganites par analyse des spectres XPS, d'émission X et des seuils d'absorption X. *Mater. Res. Bull.*, **1985**, 20(7), 745–757. [https://doi.org/10.1016/0025-5408\(85\)90053-4](https://doi.org/10.1016/0025-5408(85)90053-4)
62. V.A.M. Brabers, F. Van Setten. X-ray photoelectron spectroscopy study of the ionic configuration of the spinel CuMnCoO. *J. Phys. D: Appl. Phys.*, **1983**, 16(9), 169–172. <https://doi.org/10.1088/0022-3727/16/9/001>
63. A. Waskowska, L. Gerward, J.S. Olsen, S. Steenstrup, E. Talik. CuMn<sub>2</sub>O<sub>4</sub>: Properties and the high-pressure induced Jahn-Teller phase transition. *J. Phys. Condens. Matter*, **2001**, 13(11), 2549–2562. <https://doi.org/10.1088/0953-8984/13/11/311>
64. V. Di Castro, C. Furlani, M. Gargano, M. Rossi. XPS characterization of the CuO/MnO<sub>2</sub> catalyst. *Appl. Surf. Sci.*, **1987**, 28(3), 270–278. [https://doi.org/10.1016/0169-4332\(87\)90128-0](https://doi.org/10.1016/0169-4332(87)90128-0)
65. G.C. Allen, S.J. Harris, J.A. Jutson, J.M. Dyke. A study of a number of mixed transition metal oxide spinels using X-ray photoelectron spectroscopy. *Appl. Surf. Sci.*, **1989**, 37(1), 111–134. [https://doi.org/10.1016/0169-4332\(89\)90977-x](https://doi.org/10.1016/0169-4332(89)90977-x)
66. M. Fujiwara, T. Matsushita, S. Ikeda. Evaluation of Mn 3s X-ray photoelectron spectroscopy for characterization of manganese complexes. *J. Electron Spectrosc. Relat. Phenom.*, **1995**, 74(3), 201–206. [https://doi.org/10.1016/0368-2048\(94\)02375-1](https://doi.org/10.1016/0368-2048(94)02375-1)
67. V. Di Castro, G. Polzonetti. XPS study of MnO oxidation. *J. Electron Spectrosc. Relat. Phenom.*, **1989**, 48(1), 117–123. [https://doi.org/10.1016/0368-2048\(89\)80009-x](https://doi.org/10.1016/0368-2048(89)80009-x)
68. M.A. Stranick. MnO<sub>2</sub> by XPS. *Surf. Sci. Spectra*, **1999**, 6(1). <https://doi.org/10.1116/1.1247888>
69. S.E. Dorris, T.O. Mason. Electrical properties and cation valencies in Mn<sub>3</sub>O<sub>4</sub>. *J. Am. Ceram. Soc.*, **1988**, 71(5), 379–385. <https://doi.org/10.1111/j.1151-2916.1988.tb05057.x>
70. D.L. Cocke, S. Vepřek. First direct evidence of a solid state charge transfer redox system  $\text{Cu}^{2+} + \text{Mn}^{3+} = \text{Cu}^{1+} + \text{Mn}^{4+}$  in copper manganese oxide. *Solid State Commun.*, **1986**, 57(9), 745–748. [https://doi.org/10.1016/0038-1098\(86\)90851-3](https://doi.org/10.1016/0038-1098(86)90851-3)

71. D. Dollimore, K.H. Tonge. The constitution and oxidizing properties of materials in the copper(II) oxide-manganese(III) oxide system. *J. Chem. Soc., A: Inorg., Phys. Theor. Chem.*, **1970**, 1728–1731. <https://doi.org/10.1039/j19700001728>
72. C.W. Ahn, Y.W. You, I. Heo, J.S. Hong, J.K. Jeon, Y.D. Ko, Y.H. Kim, H. Park, J.K. Suh. Catalytic combustion of volatile organic compound over spherical-shaped copper–manganese oxide. *J. Ind. Eng. Chem.*, **2017**, *47*, 439–445. <https://doi.org/10.1016/j.jiec.2016.12.018>
73. H. Chen, X. Tong, Y. Li. Mesoporous Cu–Mn hopcalite catalyst and its performance in low temperature ethylene combustion in a carbon dioxide stream. *Appl. Catal., A*, **2009**, *370*(1–2), 59–65. <https://doi.org/10.1016/j.apcata.2009.09.017>